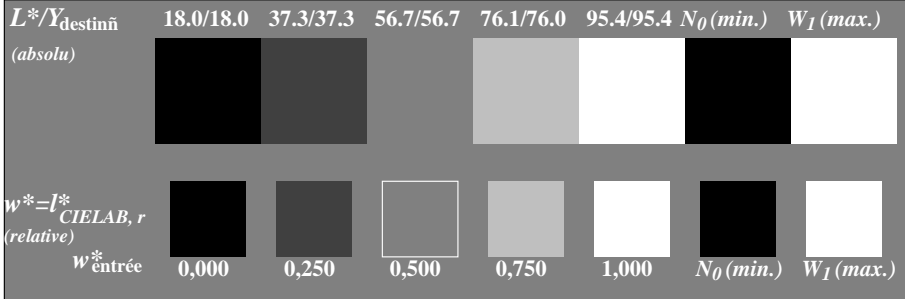
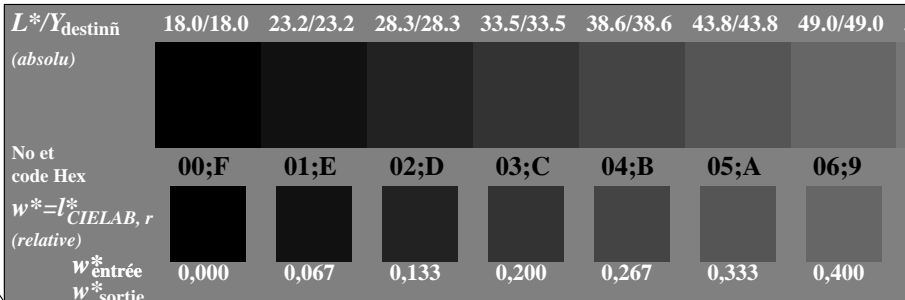


RF990-3, Fig. A1W-: Élément A: radial callebotis N-W, W-N, N-Z et W-Z; PS operator:  $w^* setgray$



RF990-5, Fig. A2W-: Élément B: 5 équidistants  $L^*$ gris étapes +  $N_0 + W_I$ ; PS operator:  $w^* setgray$



RF990-7, Fig. A3W-: Élément C: 16 équidistants  $L^*$ gris étapes; PS operator:  $w^* setgray$

graphique RF99; ME16(ISO 9241-306), 3(ISO/IEC 15775)  
achromatic graphique de test N

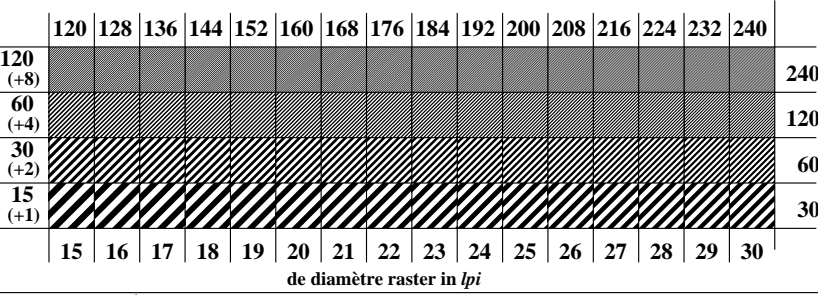
l'arrimage-plan Øtape  
code hex

7															
E															
2															
8															
F															

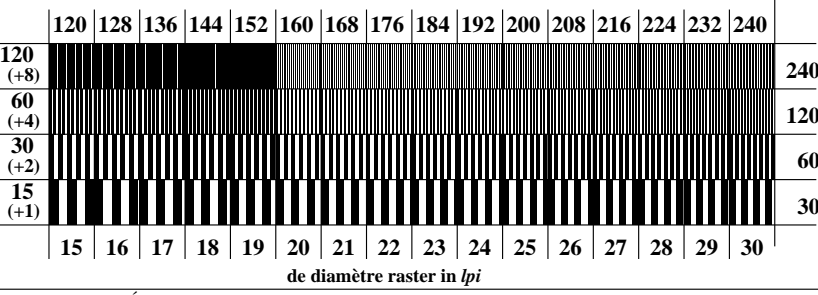
1	l'anneau Øtape 0-1	code hex
8	7-8	
E	E-F	
2	2-0	
8	8-6	
F	F-D	

anneaux Landolt W-N  
code: l'arrimage-plan-l'anneau Øtape

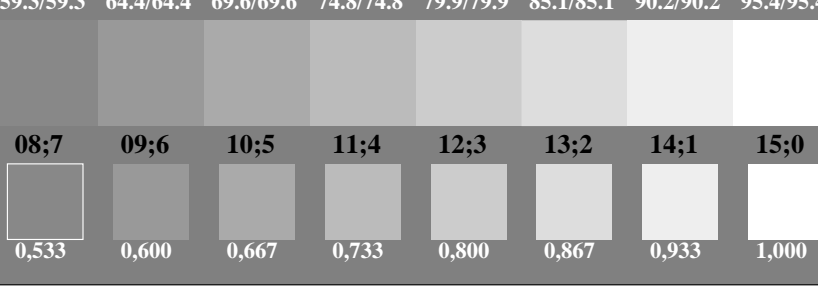
RF991-1, Fig. A4W-: Élément D: anneaux Landolt W-N; PS operator:  $w^* setgray$



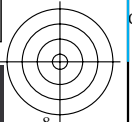
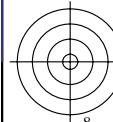
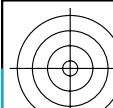
RF991-3, Fig. A5W-: Élément E: Linge raster sous 45° (ou 135°) degré; PS operator:  $w^* setgray$

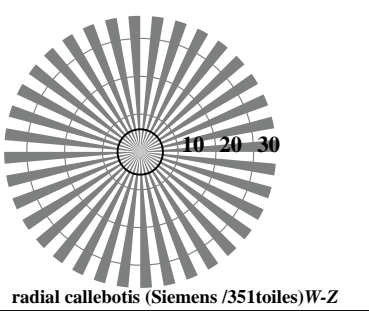
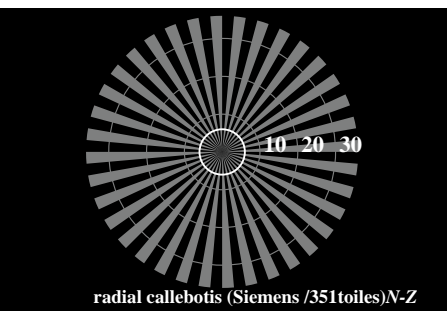
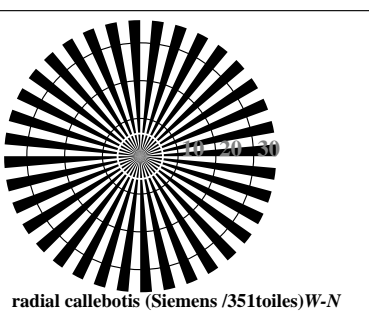
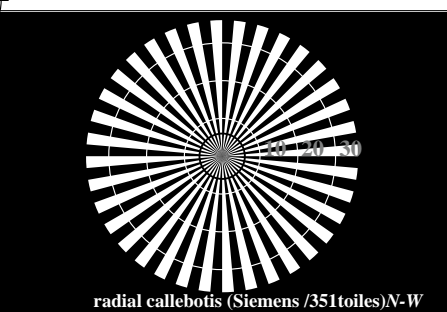
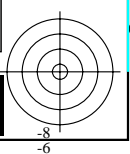


RF991-5, Fig. A6W-: Élément F: Linge raster sous 90° (ou 0°) degré; PS operator:  $w^* setgray$

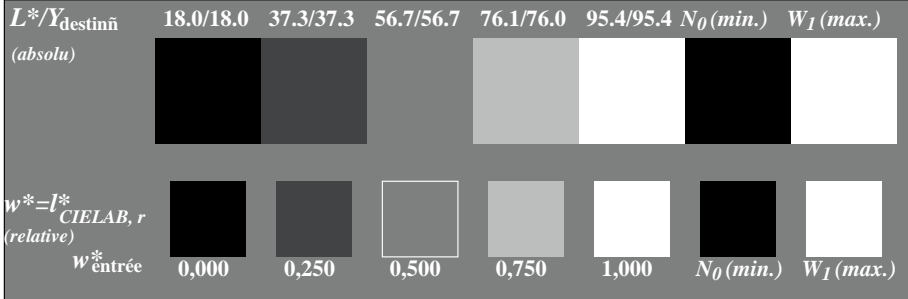


entrée :  $rgb/cmyk \rightarrow rgb/cmyk$   
sortie : aucun changement

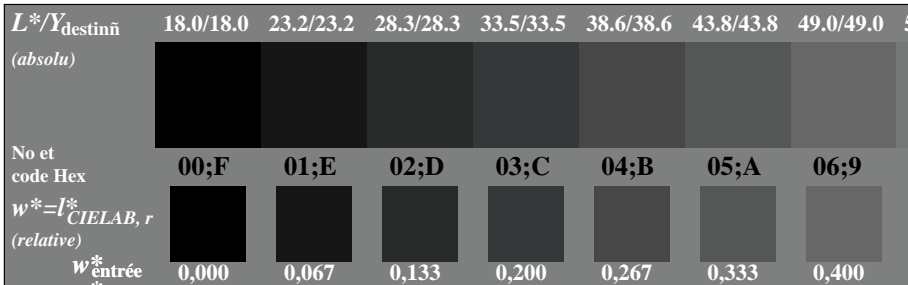




RF990-3, Fig. A1Wdd: Élément A: radial callebotis N-W, W-N, N-Z et W-Z; PS operator:  $w^* setgray$



RF990-5, Fig. A2Wdd: Élément B: 5 équidistants  $L^*$ gris étapes +  $N_0$  +  $W_I$ ; PS operator:  $w^* setgray$



RF990-7, Fig. A3Wdd: Élément C: 16 équidistants  $L^*$ gris étapes; PS operator:  $w^* setgray$

graphique RF99; ME16(ISO 9241-306), 3(ISO/IEC 15775)  
achromatic graphique de test N, 3D=1, de=0, sRGB\*

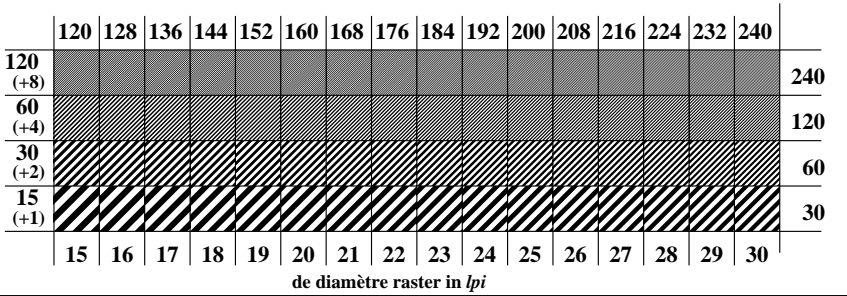
l'arrile-plan Øtpe  
code hex

1	l'anneau Øtpe 0-1 code hex
7	7-8
E	E-F
2	2-0
8	8-6
F	F-D

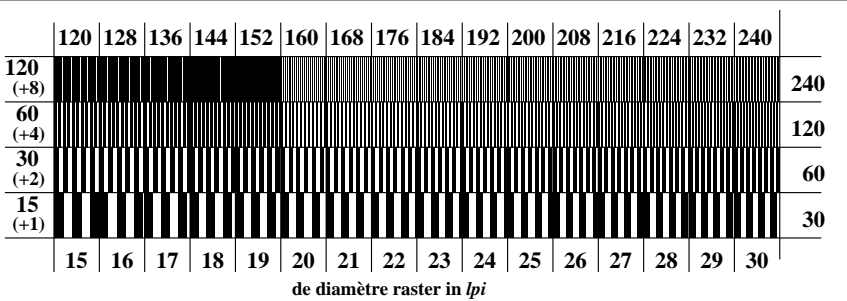
anneaux Landolt W-N

code: l'arrile-plan-l'anneau Øtpe

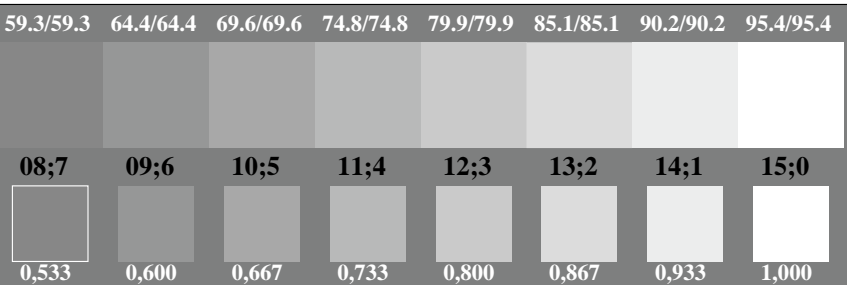
RF991-1, Fig. A4Wdd: Élément D: anneaux Landolt W-N; PS operator:  $w^* setgray$



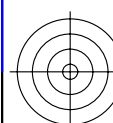
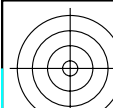
RF991-3, Fig. A5Wdd: Élément E: Linge raster sous 45° (ou 135°) degré; PS operator:  $w^* setgray$

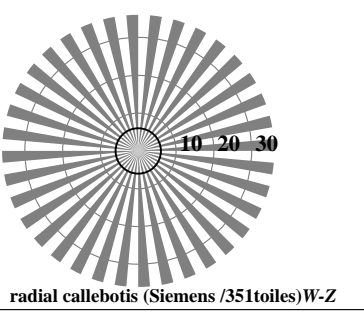
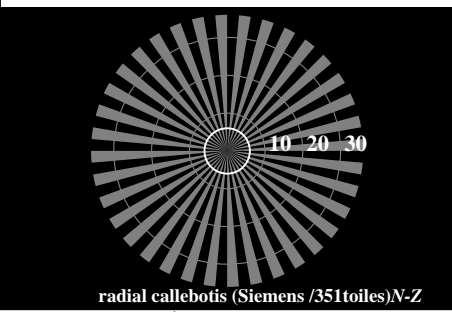
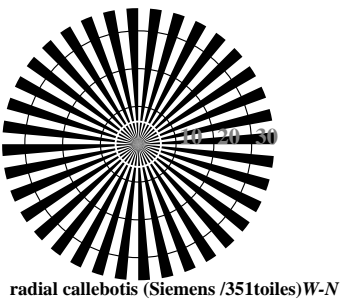
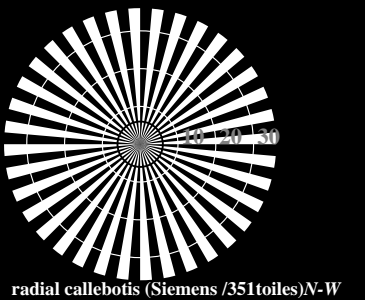


RF991-5, Fig. A6Wdd: Élément F: Linge raster sous 90° (ou 0°) degré; PS operator:  $w^* setgray$

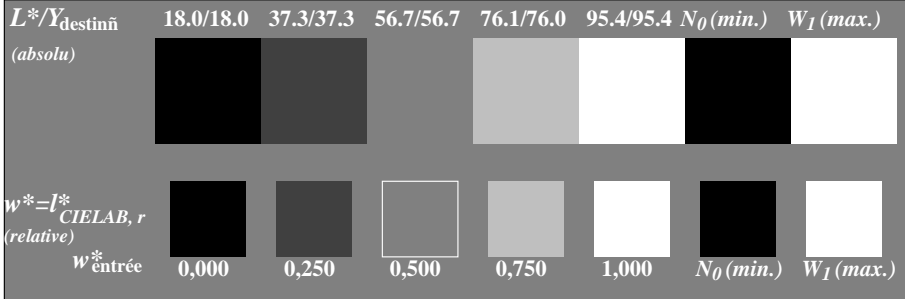


entrée :  $rgb/cmky \rightarrow rgbd$   
sortie : linéarisation 3D selon  $rgb^*dd$

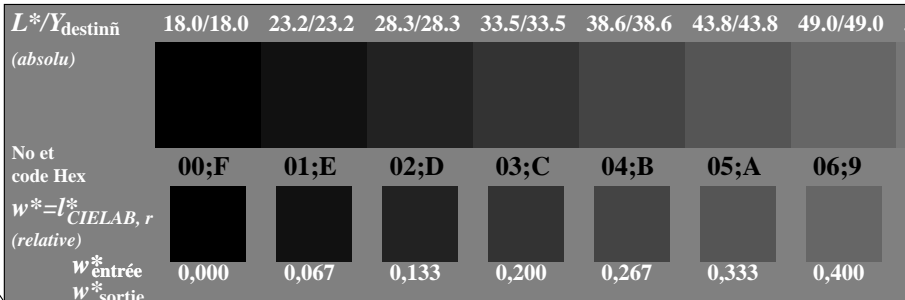




RF990-3, Fig. A1W-: Élément A: radial callebotis N-W, W-N, N-Z et W-Z; PS operator:  $w^* setgray$



RF990-5, Fig. A2W-: Élément B: 5 équidistants  $L^*$ gris étapes +  $N_0 + W_I$ ; PS operator:  $w^* setgray$



RF990-7, Fig. A3W-: Élément C: 16 équidistants  $L^*$ gris étapes; PS operator:  $w^* setgray$

graphique RF99; ME16(ISO 9241-306), 3(ISO/IEC 15775)  
achromatic graphique de test N

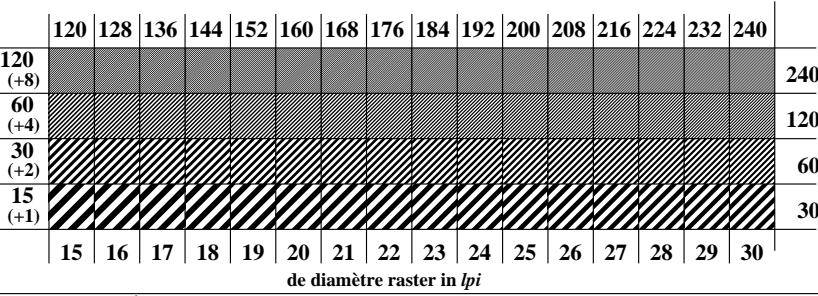
l'arrimage-plan Øtape  
code hex

7															
E															
2															
8															
F															

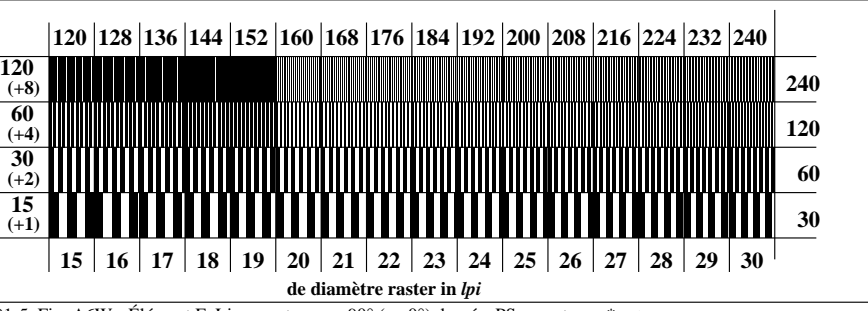
1	l'anneau Øtape 0-1	code hex
8	7-8	
E	E-F	
2	2-0	
8	8-6	
F	F-D	

anneaux Landolt W-N  
code: l'arrimage-plan-l'anneau Øtape

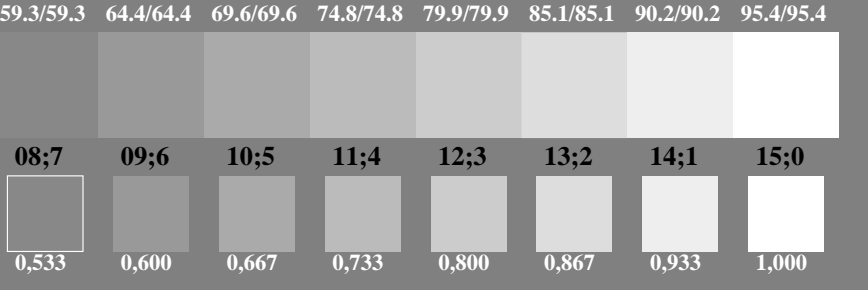
RF991-1, Fig. A4W-: Élément D: anneaux Landolt W-N; PS operator:  $w^* setgray$



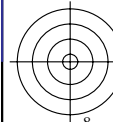
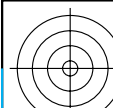
RF991-3, Fig. A5W-: Élément E: Linge raster sous 45° (ou 135°) degré; PS operator:  $w^* setgray$

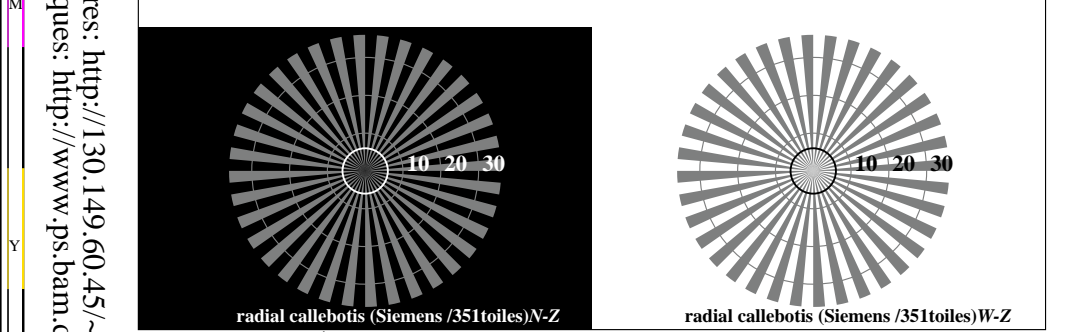
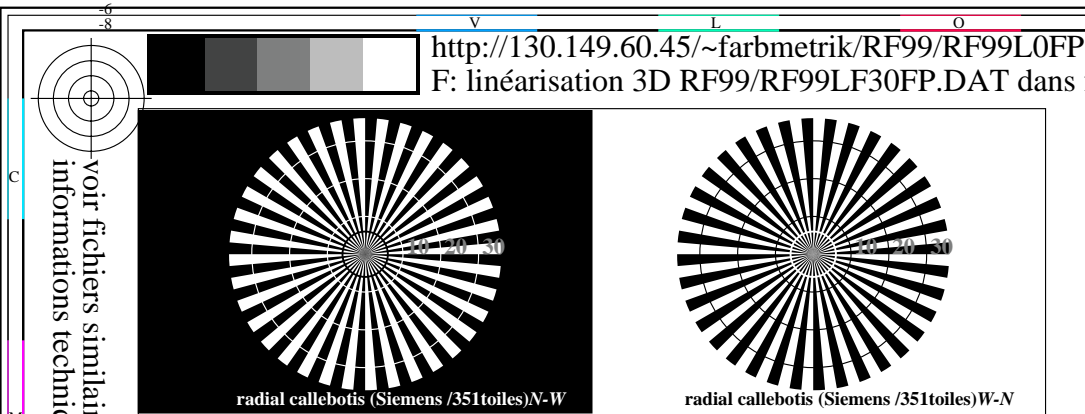
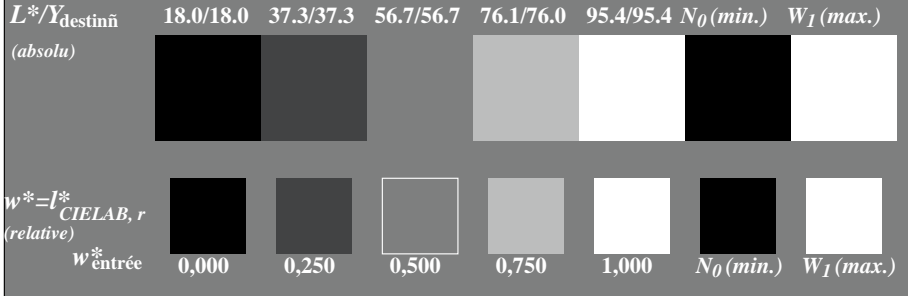
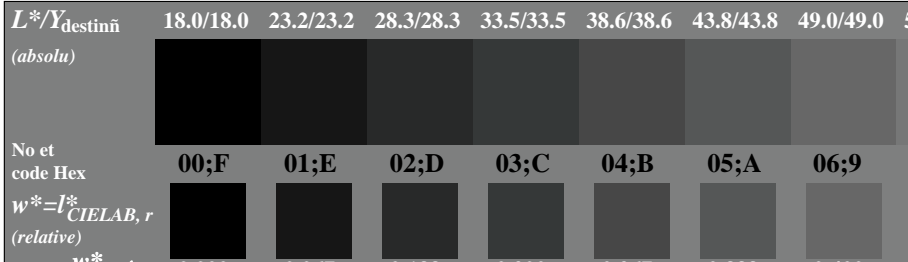
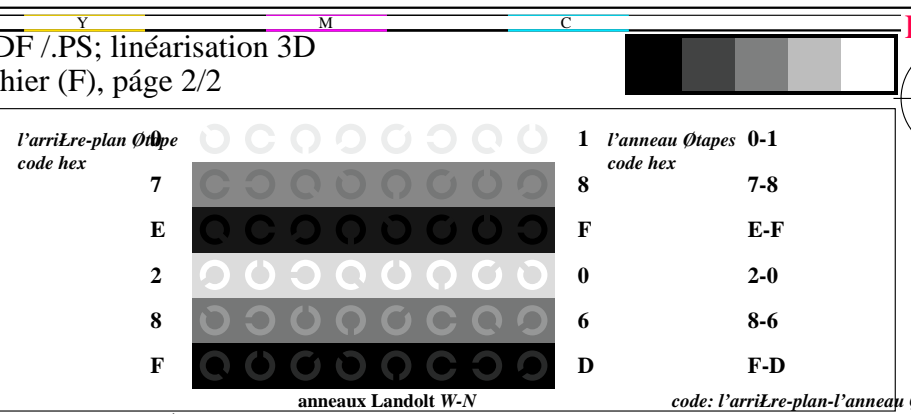
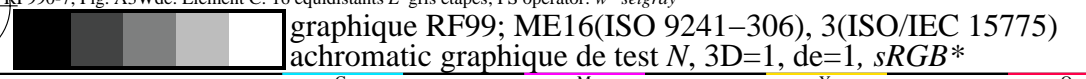
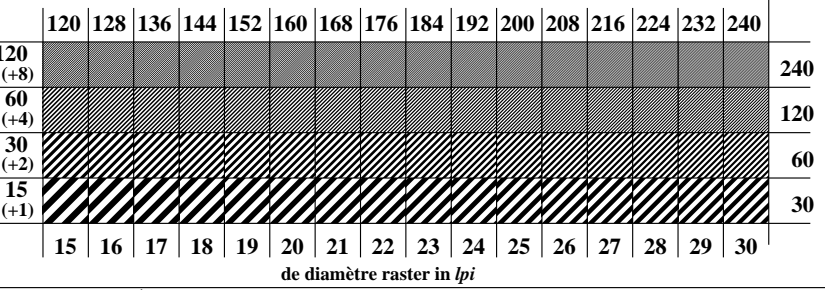
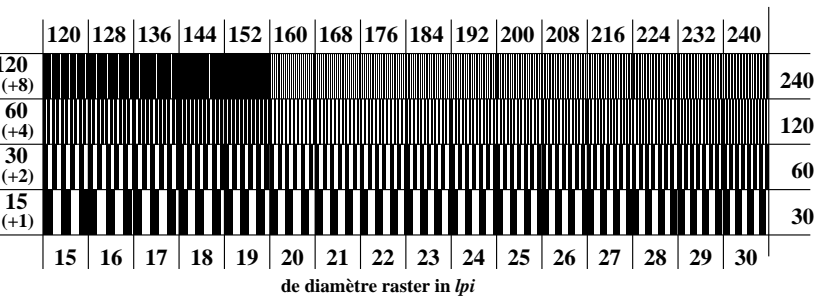
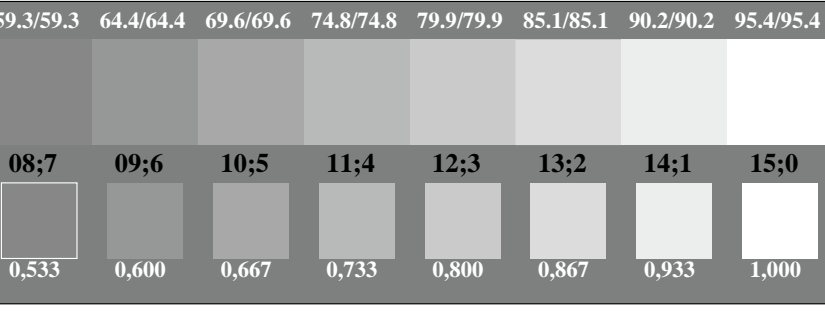


RF991-5, Fig. A6W-: Élément F: Linge raster sous 90° (ou 0°) degré; PS operator:  $w^* setgray$



entrée :  $rgb/cmyk \rightarrow rgb/cmyk$   
sortie : aucun changement



RF990-3, Fig. A1Wde: Élément A: radial callebotis N-W, W-N, N-Z et W-Z; PS operator:  $w^* setgray$ RF990-5, Fig. A2Wde: Élément B: 5 équidistants  $L^*$  gris étapes +  $N_0$  +  $W_I$ ; PS operator:  $w^* setgray$ RF990-7, Fig. A3Wde: Élément C: 16 équidistants  $L^*$  gris étapes; PS operator:  $w^* setgray$ RF991-1, Fig. A4Wde: Élément D: anneaux Landolt W-N; PS operator:  $w^* setgray$ RF991-3, Fig. A5Wde: Élément E: Linge raster sous 45° (ou 135°) degré; PS operator:  $w^* setgray$ RF991-5, Fig. A6Wde: Élément F: Linge raster sous 90° (ou 0°) degré; PS operator:  $w^* setgray$ 

entrée :  $rgb/cmky \rightarrow rgb_{de}$   
sortie : linéarisation 3D selon  $rgb^*_{de}$

